

АМПЛИТУДНО-ЧАСТОТНЫЕ ХАРАКТЕРИСТИКИ ПОЛУПРОВОДНИКОВОГО ИНЖЕКЦИОННОГО ЛАЗЕРА С ВНЕШНЕЙ ОПТИЧЕСКОЙ ОБРАТНОЙ СВЯЗЬЮ

Расчеты амплитудно-частотных характеристик обычно выполняются в приближении медленно меняющейся амплитуды. Анализ работы полупроводникового лазера в режиме синхронизации внешним когерентным излучением выявил различия фазово-частотных характеристик, получаемых на основе волнового уравнения и уравнения для медленно меняющейся амплитуды [1]. Учитывая определяющее влияние фазы отраженного сигнала на процесс лазерной генерации, представляется интересным проанализировать амплитудно-частотные характеристики полупроводникового лазера на основе волнового уравнения и установить условия применимости скоростных уравнений при наличии запаздывающей оптической обратной связи.

Распространение электромагнитных волн в активной области в адиабатическом приближении, когда считается, что макроскопическая поляризация пропорциональна напряженности электрического поля, рассмотрим на основе волнового уравнения в виде [1, 2]

$$\frac{\partial^2 E(x,t)}{\partial x^2} - \frac{\partial^2 \varepsilon(t)E(x,t)}{c^2 \partial t^2} = 0 \quad (1)$$

С учетом того, что комплексная диэлектрическая проницаемость при гармоническом изменении концентрации неравновесных носителей в активной области изменяется во времени как

$$\varepsilon(t) = \varepsilon + \varepsilon_1 \exp(i\Omega t) + \varepsilon_2 \exp(-i\Omega t), \quad (2)$$

решение волнового уравнения (1) ищем в виде

$$E(x,t) = [E_0(x) + E_+(x) \exp(i\Omega t) + E_-(x) \exp(-i\Omega t)] \exp(-i\omega t). \quad (3)$$

Пространственное распределение прямой и обратной волн генерирующей моды (рис 1) представляется как $E_0^\pm(x) = E_0^\pm \exp(\pm inkx)$, где $k = \omega/c$ – постоянная распространения в вакууме, $n = \sqrt{\varepsilon}$ – показатель преломления.

Предположим, что внешнее зеркало расположено с правой стороны резонатора. Тогда поле на правом торце можно представить как

$$E(x,t)_{x=L} = B(x-ct) + C(x+ct), \quad (4)$$

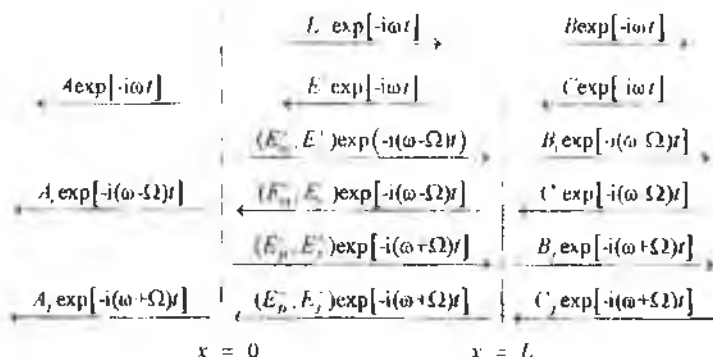


Рис. 1. Схема полей внутри резонатора с внешней запаздывающей оптической обратной связью. Длина резонатора Фабри-Перо обозначена l .

где B и C — амплитуды выходящей и возвращаемой волн соответственно. Возвращаемая волна определяется как $C(L, t) = \kappa B(L, t - \tau)$, где κ — коэффициент отражения от внешнего зеркала, τ — время запаздывания. Из выражения (4) следует

$$\left[\frac{1}{c} \frac{\partial E(x, t)}{\partial t} + \frac{\partial E(x, t)}{\partial x} \right]_{x=0} = \frac{2}{c} \frac{\partial C(L, t)}{\partial t}$$

$$\left[\frac{1}{c} \frac{\partial E(x, t)}{\partial t} - \frac{\partial E(x, t)}{\partial x} \right]_{x=L} = \frac{2}{c} \frac{\partial B(L, t)}{\partial t} \quad (3)$$

С использованием выражений (4) и (5) и связи между амплитудами B и C получаем

$$\left(\frac{1}{c} \frac{\partial E(x, t)}{\partial t} + \frac{\partial E(x, t)}{\partial x} \right)_{x=L} = \kappa \left(\frac{1}{c} \frac{\partial E(x, t - \tau)}{\partial t} - \frac{\partial E(x, t - \tau)}{\partial x} \right)_{x=L} \quad (6)$$

Второе граничное условие запишется как

$$\frac{1}{c} \frac{\partial E(x, t)}{\partial t} \Big|_{x=0} = \frac{\partial E(x, t)}{\partial x} \Big|_{x=0} \quad (7)$$

Из граничных условий (6), (7) следует, что

$$\left[\begin{aligned} & (n+1) \quad \quad \quad - (n-1) \\ & [(n-1) + \kappa(n+1)e^{i\omega\tau}]e^{i\omega x} - [(n+1) + \kappa(n-1)e^{i\omega\tau}]e^{-i\omega x} \end{aligned} \right]_{x=0} = 0 \quad (8)$$

Таким образом условие амплитудно-фазового баланса в однопроходном лазере при наличии оптической обратной связи представляется в виде

$$e^{i\Delta n l} = \frac{(n+1)^2 + \kappa e^{m\kappa} (n^2 - 1)}{(n-1)^2 + \kappa e^{m\kappa} (n^2 - 1)}, \quad (9)$$

а амплитуды прямой и обратной волн генерирующей моды связаны условием

$$E_2 = \left(\frac{n+1}{n-1} \right) E_0^*. \quad (10)$$

Для полей E_f и E_r после линеаризации имеем соответственно следующие уравнения:

$$\frac{\partial^2 E_{f,r}(x)}{\partial x^2} - (k \pm q)^2 \epsilon_{f,r} E_{f,r}(x) = (k \pm q)^2 \epsilon_{f,r} E_0(x), \quad (11)$$

где $q = \Omega/c$. Напряженности $E_f(x)$ и $E_r(x)$ и их первые производные являются непрерывными функциями координаты x . Решения неоднородного уравнения внутри резонатора с учетом $q \ll k$ для f -типа волны записываются как

$$E_{\beta}^{\pm}(x) = -\frac{\kappa \epsilon_f}{2q n n_r} E_0^{\pm}(x). \quad (12)$$

Решения однородной части уравнения (11) внутри резонатора, определяемые наличием оптической обратной связи, имеют вид $E_f^{\pm}(x) = E^{\pm} \exp(\pm i n k x \pm i n_r q x)$ при

$$E_f^{\pm} = \frac{2i \kappa n e^{m\kappa} (e^{i\kappa L} - 1) E_{\beta}^{\pm}}{\left[(n^2 - 1) (1 + \kappa^2 e^{i\kappa L + 2m\kappa}) \sin(n_r q L) + \kappa e^{m\kappa} \times \right.} \quad (13)$$

$$\left. \times \left[(n^2 + 1) (e^{i\kappa L} + 1) \sin(n_r q L) - 2m (e^{i\kappa L} - 1) \cos(n_r q L) \right] \right]$$

Что касается выражений для r -типов сигналов, то здесь и далее они получаются из формул для f -компонент заменой индекса f на индекс r , Ω на $-\Omega$.

Динамику неравновесных носителей заряда рассмотрим на основе стандартного балансного уравнения:

$$\frac{dN}{dt} = \frac{j(t)}{ed} - \frac{N}{\tau_p} - v_g G(N) S, \quad (14)$$

где $j(t)$ — плотность тока накачки, d — ширина активной области, τ_p — время жизни неравновесных носителей заряда, $G(N)$ — зависящий от концентрации носителей N коэффициент усиления, $v_g = c/n_g$ — групповая скорость света в полупроводнике. Учитывая однородность волнового уравнения (1) и пренебрегая различием пространственных распределений $E_r(x)$, $E_z(x)$ и $E_{\parallel}(x)$, единицы измерения электромагнитного поля можно переопределить таким образом, чтобы величина $|A|^2$ равнялась средней плотности фотонов в резонаторе S . Согласно уравнению (14), зависимость концентрации носителей заряда от времени является действительной функцией

$$N(t) = N_m + n_m \exp(i\Omega t) + n_m^* \exp(-i\Omega t). \quad (15)$$

Группируя слагаемые, пропорциональные $\exp(i\Omega t)$, преобразуем уравнение (14) к виду

$$i\Omega n_m = \frac{j_m}{ed} - \frac{n_m}{\tau_p} - v_g \frac{\partial G}{\partial N} S n_m - v_g G_m S_m, \quad (16)$$

где dG/dN — дифференциальное усиление, $S_m = A^* A + A A^*$. Выражая переменную часть диэлектрической проницаемости через модуляционную часть концентрации носителей:

$$\epsilon_r = \frac{\partial \epsilon}{\partial N} n_m, \quad \epsilon_r^* = \frac{\partial \epsilon}{\partial N} n_m^*, \quad (17)$$

где $\frac{\partial \epsilon}{\partial N} = -\frac{n(\alpha + i)}{k} \frac{\partial G}{\partial N}$, α — параметр увеличения ширины линии генерации, путем совместного решения уравнений (12), (13) и (16) находим

$$n_m = \frac{j_m}{ed} \frac{\Omega}{i\Omega^2 + \frac{\Omega}{\tau_p} + v_g \frac{\partial G}{\partial N} S \left[\Omega - i v_g G_m \left[1 + \frac{(1 - i\alpha)U_r + (1 + i\alpha)U_r^*}{2} \right] \right]}, \quad (18)$$

где символами $U_{j,r}$ обозначены коэффициенты пропорциональности между $E_{j,r}$ и $E_{z,r}$, из уравнения (13). Амплитуды выходящих сигналов r и j типов выражаются соответственно как

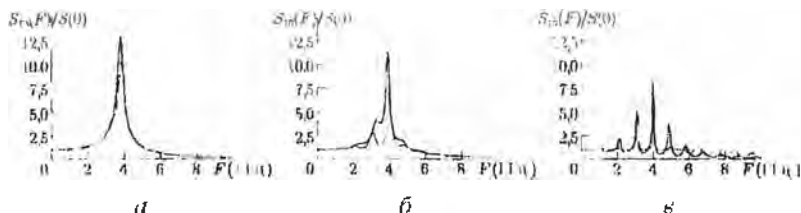


Рис. 2. Зависимость нормированной вариации плотности фотонов от частоты модуляции $f = \Omega/2\pi$ для $\kappa = 0,001$ (а), $0,01$ (б) и $0,1$ (в) соответственно при $S = 10^{15} \text{ см}^{-3}$, $\tau_d = 5 \text{ нс}$, $\tau = 1 \text{ нс}$, $dX/dN = 2 \times 10^{16} \text{ см}^{-3}$, $L = 250 \text{ мкм}$, $n' = 3,6$, $n'' = 4,0$, $\alpha p = 0$. Тонкой линией указаны кривые, полученные на основе системы уравнений для медленно меняющейся амплитуды.

$$A_x = \frac{\nu_g (1 - i\alpha)(1 + U_x) \partial G}{2i\Omega} \frac{\partial G}{\partial N} A_{1n} \quad (19)$$

$$A_y = \frac{\nu_g (1 - i\alpha)(1 + U_f) \partial G}{2i\Omega} \frac{\partial G}{\partial N} A_{2n} \quad (20)$$

Соответствие полученных выражений (18)–(20) с результатами анализа на основе системы стандартных скоростных уравнений для полупроводникового лазера с запаздывающей оптической обратной связью [1] достигается при замене функций $U_{f,x}$ на соответствующие первые члены их разложения по κ , что справедливо, если

$$\begin{cases} \kappa \ll L/\nu_g \tau, & \text{при } \Omega \tau \ll 1, \\ \kappa \ll \Omega L/\nu_g, & \text{при } \Omega \tau \geq 1, \end{cases} \quad (21)$$

т. е. для режима слабой обратной связи. В противном случае начинают сказываться процессы многократных отражений во внешнем резонаторе (рис. 2). Таким образом, при наличии сильной оптической обратной связи амплитудно-частотные характеристики, полученные на основе волнового уравнения и уравнения для медленно меняющейся амплитуды, имеют существенные количественные различия.

Литература

1. Афоненко А. А., Манах И. С. Электромагнитная теория полупроводниковых лазеров. Мн.: БГУ, 1997. 59 с.
2. Афоненко А. А., Матюхин А. Б. Амплитудные и фазовые характеристики инжекционного лазера в режиме четырехволнового смешения // Радиофизика и электроника. Сб. науч. тр. Вып. 4. Мн.: БГУ, 2000. С. 8–13.